

## تحلیل ارتعاشات واگن و بررسی تأثیر ناهمواریهای خط بر راحتی سفر

جعفر عبادی رجلی (مسئول مکاتبات)، دانش آموخته کارشناسی ارشد، دانشکده مهندسی مکانیک، دانشگاه صنعتی امیرکبیر، تهران، ایران  
حیب الله ملاطفی، استادیار، دانشکده مهندسی راه آهن، دانشگاه علم و صنعت ایران، تهران، ایران

E-mail: jafarebadi@aut.ac.ir

دربافت: ۱۳۹۳/۰۳/۱۸ پذیرش: ۱۳۹۳/۰۳/۰۷

### چکیده

هدف این مقاله تحلیل راحتی سفر وسیله نقلیه ریلی در مسیر مستقیم به وسیله روش‌های EN و UIC است. برای بیل به این هدف مدل دینامیکی ۹ درجه آزادی راحتی سفر واگن شرح داده شده است. مدل دینامیکی راحتی سفر واگن الگوی ERRI در نرم افزار SIMULINK برای ناهمواریهای خط کلاسیک‌ها و خطوط ریلی آمریکا شبیه سازی شد. پاسخ دینامیکی واگن برای مقادیر مختلف شتابهای طولی شروع حرکت به دست آمد و سپس شاخص راحتی سفر در نرم افزار MATLAB محاسبه شد. تابع نشان می‌دهد که افزایش شتاب شروع حرکت باعث افزایش شاخص راحتی سفر (بدتر شدن شرایط)، بویژه در مسافر ایستاده می‌شود. در ضمن عدد شاخص راحتی سفر برای نقطه B (گوش اطاق) نسبت به نقطه A (وسط اطاق) بیشتر (بدتر) است و این اختلاف در خط با کیفیت بد بسیار محسوس است. دلیل این امر این است که شتابهای ناشی از چرخش اطاق حول محورهای طولی و عرضی در نقطه B نسبت به نقطه A بسیار بیشتر است. در ضمن محاسبه شاخص راحتی سفر از روش استاندارد به طور قابل توجیه مقادیر عددی کمتری (سواری بیشتر) را نسبت به روش کامل برای مسافر ایستاده و با شتابهای یکسان به دست می‌دهد. بنابراین جیبت ارزیابی راحتی واگن‌های مترو، روش کامل باید مد نظر قرار گیرد.

واژه‌های کلیدی: ارتعاشات اطاقک، شاخص راحتی سفر، ناهمواری خط، معیارهای راحتی سفر

۱۳۸۵] به بهینه‌سازی سیستم تعلیق خودرو به کمک الگوریتم ژنتیک پرداختند، آنها از مدل دو درجه آزادی برای تحلیل ارتعاشات خودرو استفاده کردند و با صرف نظر کردن از تأثیر شتابهای طولی و عرضی به کاهش مقدار متوسط شتابهای قائم (بدون محاسبه شاخص راحتی سفر) پرداختند.

در این مقاله به شرح روشی برای بیان کمی تأثیر ناهمواری‌های خط بر ارتعاشات اطافک و تحلیل این ارتعاشات به کمک معیارهای بررسی راحتی سفر پرداخته می‌شود. همه افراد فرق از معیار اسپریلینگ برای بررسی راحتی سفر استفاده کردند. در مدل اسپریلینگ شاخص راحتی سفر عمودی و افقی جداگانه در نظر گرفته می‌شود و دو شاخص جداگانه راحتی سفر عمودی و افقی ارائه می‌کند [He and Li, 2014]. در روش بکار گرفته شده در این مقاله، تأثیر متقابل شتابهای طولی و عرضی بر راحتی سفر در یک شاخص در نظر گرفته می‌شود. در این مطالعه ارتعاشات حول محور طولی اطافک و اگن و بوزیها نیز شبیه‌سازی شده و بنابراین تأثیر تفاوت ناهمواری سطح زیر چرخهای سمت راست و چپ وسیله نقلیه بر راحتی سفر در نظر گرفته شده است. برای این کار پس از شبیه‌سازی حرکت اطافک در مسیر مستقیم دارای ناهمواری عمودی و یافتن پاسخ دینامیکی اطافک، شاخص راحتی سفر با دو روش ارائه شده در استاندارد EN [EN Code 12299, 2006] و UIC [UIC Code 513.] محاسبه می‌شود. در ضمن روشی که ۱۹۹۴ [برای محاسبه شاخص راحتی سفر ارائه می‌دهد، مشابه روش EN-12299 است.

## ۲. شبیه‌سازی دینامیک حرکت و اگن

در این مقاله برای شبیه‌سازی دینامیک حرکت و اگن، ابتدا معادلات حرکت برای سیستم ۹ درجه آزادی (۳ درجه آزادی برای اطافک و ۳ درجه آزادی برای هر یک از دو بوزی، شامل حرکت عمودی و چرخش حول محور طولی و عرضی) نوشته شد. با در نظر گرفتن ناهمواری‌های خط به عنوان ورودی، دستگاه معادلات دیفرانسیل در SIMULINK حل شد و شتاب نقاط مورد نظر از وگنی که با پروفیل سرعتهای مختلف در مسیر مستقیم در حرکت است بدست

## ۱. مقدمه

راحتی مسافر در حین حرکت از عوامل مختلفی شامل ارتعاش، دما، صدا، ویژگیهای صندلی و غیره تأثیر می‌یابد. اما در معیارهای دینامیکی بررسی راحتی سفر فقط بخشی از راحتی که از ارتعاشات حرکت وسیله نقلیه تأثیر می‌یابد در نظر گرفته می‌شوند. وگن‌های مسافری معمولاً از یک اطافک (یا کایبن) و دو (یا سد) بوزی تشکیل شده‌اند. در راه آهن، اثرگذارترین عوامل در راحتی سفر، سیستم تعلیق مابین اطافک و بوزی و سیستم تعلیق مابین بوزی و محور چرخها هستند و اثرگذاری انعطاف‌پذیری سازه اطافک و بوزیها بسیار کمتر از اثرگذاری سیستمهای تعلیق هستند. همچنین چرخها بدليل فلزی بودن، تقریباً صلب (در مقایسه با سیستم تعلیق) هستند.

افراد مختلفی به مطالعه ارتعاشات وسایل نقلیه و راحتی سفر پرداخته‌اند که در ادامه به گزینه‌ای از آنها اشاره می‌شود.

Younesian and Nankali, 2009, Farah-[pour, Younesian and Esmailzadeh, 2006 بهینه‌سازی و بررسی عمر سیستم تعلیق و اگن، با در نظر گرفتن راحتی سفر به عنوان عامل محدود کننده پرداختند. گانگادهاران و همکارانش نیز تحقیقاتی درباره ارزیابی تحلیلی و آزمایشگاهی راحتی سفر انجام دادند [Gangadharan, Sujatha and Ramamurti, 2004] گوگا و کلاکیک [Goga and Klúčik 2012] به بهینه سازی سیستم تعلیق وسیله نقلیه با استفاده از مدل ۴ درجه آزادی پرداختند، آنها از ارتعاشات حول محور طولی بدن و وسیله نقلیه صرف نظر کردند. گونگ و همکارانش [Gong et al. 2012] به تحلیل ارتعاشات عمودی و اگن - با هدف مطالعه راحتی سفر و فرکاسهای طبیعی - پرداختند. آنها از مدلی انعطاف‌پذیر برای اطافک و اگن استفاده کردند و از ارتعاشات حول محور طولی اطافک و اگن و بوزیها صرف نظر کردند. سان و همکارانش [Sun et al. 2011] به بررسی تأثیر سیستم تعلیق اطافک و اگن بر روی راحتی سفر قطارهای پرسرعت پرداختند. سوآرزو همکارانش [Suarez et al. 2013] به تحلیل تأثیر متقابل کیفیت خط، ویژگیهای تماسی چرخ و ریل و ویژگیهای الاستیک سیستم تعلیق قطار بر روی اینمنی، راحتی سفر و خستگی ریل پرداختند. علیزاده و همکارانش [علیزاده و همکاران، ۲۰۱۳]

## تحلیل ارتعاشات واگن و بررسی تأثیر ناهمواریهای خط بر راحتی سفر

### ۲ مشخصات فنی اطافک و بوژی

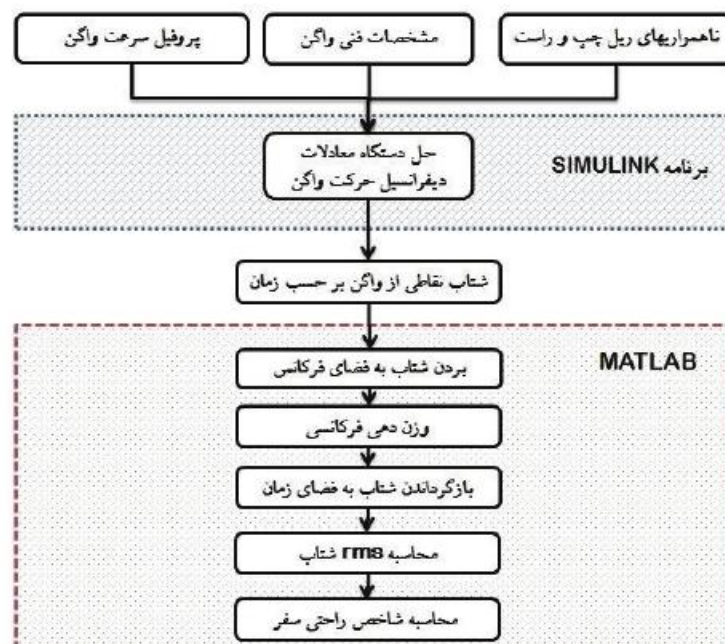
در این مقاله از مشخصات اطافک و بوژی وسیله نقلیه الگری [Manchester Benchmarks, 1998] 'ERRI B176' استفاده شده است.

مطابق شکل (۲)، a، فاصله طولی بین مرکز بوژی و اطافک، 2b، فاصله بین مرکز دو چرخ یک بوژی، c، فاصله عرضی فنرهای تعلیق ثانویه تا تعلیق اولیه تا مرکز بوژی، d، فاصله عرضی دمپرهای تعلیق اولیه تا مرکز بوژی مرکز بوژی و e، فاصله عرضی دمپرهای تعلیق اولیه تا مرکز بوژی است. در جداول ۱ و ۲ مشخصات فنی واگن آمده است.

اندیس ۱ به اطافک و اندیس ۲ به بوژی اشاره دارد، جرم،  $m_1$ ، ممان ایترسی حول محور طولی،  $J_r$ ، ممان ایترسی حول محور عرضی و  $J_p$  ضریب سختی فنر است.

آمد. در نرم افزار MATLAB نیز برنامهای نوشته شد که به محاسبه شاخص راحتی سفر می پردازد. همانطور که گفته شد در شبیه‌سازی صورت گرفته در این مقاله حرکتهای قائم و چرخش حول محورهای طولی و عرضی در نظر گرفته شده و چرخش حول محور عمودی در نظر گرفته نشده است. در ضمن فقط فنرها و دمپرهای قائم در نظر گرفته شده‌اند و فرض شده خط عمل نیروهای فنرها و دمپرهای راستای قائم باقی می‌ماند در ضمن فرض شده که چرخها صلب بوده و از روی ریل بلند نمی‌شوند و در نتیجه ناهمواری خط عیناً به چرخها منتقل می‌شوند. فرضهای صورت گرفته برای بررسی راحتی سفر متداول بوده و از دقت بررسی نمی‌کاهند.

در شکل (۱) فلوچارت روند ارائه شده در این مقاله برای محاسبه شاخص راحتی سفر نشان داده شده است.



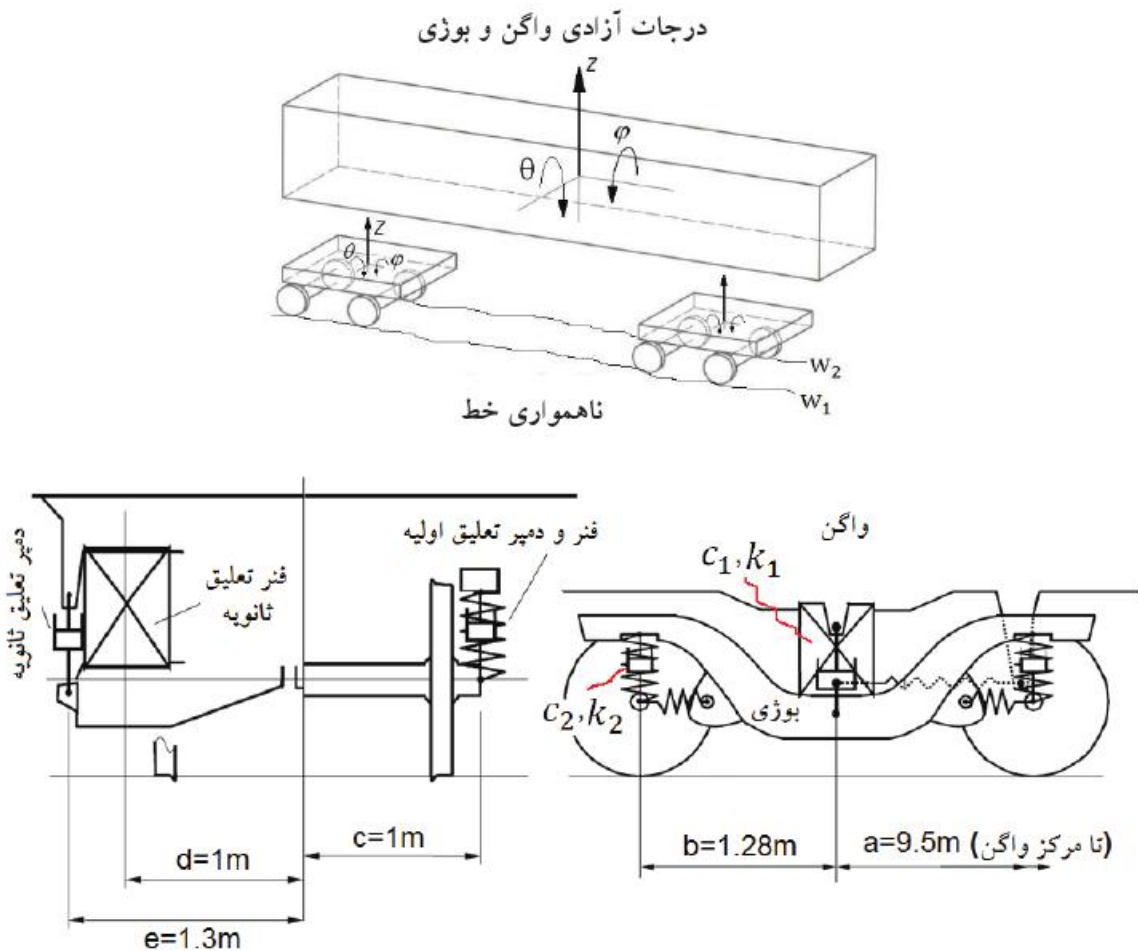
شکل ۱. روند محاسبه شاخص راحتی سفر

جدول ۱ - مقادیر جرمها و ممانهای ایترسی [Manchester Benchmarks, 1998]

$m_1$ (kg)	$m_2$ (kg)	$J_{r1}$ (kg.m <sup>2</sup> )	$J_{r2}$ (kg.m <sup>2</sup> )	$J_{p1}$ (kg.m <sup>2</sup> )	$J_{p2}$ (kg.m <sup>2</sup> )
32000	2615	56800	1467	1970000	1722

جدول ۲ - مشخصات سیستم تعلیق [Manchester Benchmarks, 1998]

$c_1$ (kN.s/m <sup>2</sup> )	$c_2$ (kN.s/m <sup>2</sup> )	$k_1$ (kN/m)	$k_2$ (kN/m)
20	4	430	1220



شکل ۲. وسیله نقلیه الکوی ERRI B176 و نمای از کنار بوژی [Manchester Benchmarks, 1998]

معادله حرکت قائم بوژی عقب:

$$m_2 \ddot{y}_3 = -k_2' \frac{\dot{e}}{4} y_3 + w_1(t+t_2) + \dots \quad (3)$$

$$w_1(t+t_3) + w_2(t+t_2) + w_2(t+t_3) \ddot{u}$$

$$-c_2' \frac{\dot{e}}{4} y_3 + w_1(t+t_2) + w_1(t+t_3) +$$

$$w_2(t+t_2) + w_2(t+t_3) \ddot{u}$$

$$+ k_1' [2y_1 - 2y_3 - 2aq_1] +$$

$$c_1' [2\dot{y}_1 - 2\dot{y}_3 - 2a\dot{q}_1]$$

معادله حرکت چرخشی اطافک حول محور عرضی:

$$J_{p_1} \ddot{q}_1 = a' k_1' [2y_2 - 2y_3 - 4aq_1] \quad (4)$$

$$+ a' c_1' [2\dot{y}_2 - 2\dot{y}_3 - 4a\dot{q}_1]$$

## ۲ معادلات دینامیکی واگن (اطافک و دو بوژی)

در این قسمت معادلات ارتعاشات حرکت اطافک و دو بوژی واگن آورده شده است.

معادله حرکت قائم اطافک:

$$m_1 \ddot{y}_1 = k_1' [-4y_1 + 2y_2 + 2y_3] + \dots \quad (1)$$

$$c_1' [-4\dot{y}_1 + 2\dot{y}_2 + 2\dot{y}_3]$$

معادله حرکت قائم بوژی جلو:

$$m_2 \ddot{y}_2 = -k_2' \frac{\dot{e}}{4} y_2 + w_1(t) + w_1(t+t_1) \quad (2)$$

$$+ w_2(t) + w_2(t+t_1) \ddot{u} - c_2' \frac{\dot{e}}{4} y_2 + w_1(t) +$$

$$w_1(t+t_1) + w_2(t) + w_2(t+t_1) \ddot{u} +$$

$$k_1' [2y_1 - 2y_2 + 2aq_1] + c_1' [2\dot{y}_1 - 2\dot{y}_2 + 2a\dot{q}_1]$$

## تحلیل ارتعاشات واگن و بررسی تأثیر ناهمواریهای خط بر راحتی سفر

ناهمواریهای خط از فضای فرکانسی خارج شده و بر حسب فاصله به عنوان ورودی به ریل چپ ( $w_1$ ) و ریل راست ( $w_2$ ) داده می‌شوند. ناهمواری ابتدا به چرخ اول وارد شده و سپس با تاخیر زمانی به ترتیب به چرخهای بعدی می‌رسند، که مقدار این تاخیرهای زمانی برابرند با:

$$t_1 = \frac{V}{b}; t_2 = \frac{V}{a}; t_3 = \frac{V}{(a+b)} \quad (11)$$

که  $\Omega_2 = 13.1 \times 10^3$  و  $A = 23 \times 10^3$ .  
 $\Omega_1 = 10^8 \times 4.92$  برای خط کلاس ۶.  
 $10^8 \times 0.98$  برای خط کلاس ۳. سرعت حرکت قطار است و مقادیر  $a$  و  $b$  هم که در بالا آورده شده است. در شکل زیر دامنه ناهمواری تولید شده برای خط کلاس ۶ مشاهده می‌شود. این دامنه ناهمواری بر حسب فاصله از ابتدای شروع خط بیان شده است.  
دامنه ناهمواری برای خط کلاس ۳، در حدود ۸ میلیمتر و برای خط کلاس ۶، در حدود  $2/5$  میلیمتر است.

### ۳. محاسبه شاخص راحتی سفر

برای محاسبه شاخص راحتی سفر ابتدادر نقاطی که در استاندارد اشاره شده (در مرکز و دو انتهای اطافک) شتاب در سه جهت ( $\ddot{x}^*$  و  $\ddot{y}^*$  و  $\ddot{z}^*$ ) در MATLAB محاسبه شده و به عنوان ورودی به برنامه داده می‌شود. سپس شتاب به فضای فرکانسی برده می‌شود.

مقدار شتاب در فضای فرکانسی به صورت زیر محاسبه می‌شود:  
 $A_{XP} = fft(\dot{x}^*)$ ,  $(12)$   
 $A_{YP} = fft(\dot{y}^*)$   
 $A_{ZP} = fft(\dot{z}^*)$

در مرحله بعد وزن دهنی ۱ فرکانسی صورت می‌گیرد:

$$A_{XP}^{W_1} = H(f)^T A_{XP} \quad (13)$$

$A_{XP}^{W_1}$  مقدار شتاب وزن دهنی شده در فضای فرکانسی می‌باشد. توجه کنید که باید از  $H(f)$  مربوط به  $W_1$  باید استفاده شود. که  $W_1$  به تابع وزن دهنی فرکانسی طبق منحنی وزن دهنی اشاره دارد ( $i=b, c, d$ : جهت عمردی (تکیه گاه)،  $c$ : جهت طولی،  $d$ : جهت عرضی)

معادله حرکت چرخشی بوزی جلو حول محور عرضی:  

$$J_{p_1} \ddot{q}_2 = bk_1' \ddot{\dot{q}} - 4bq_2(t) - w_1(t) + w_1(t+t_1) + w_2(t+t_1) \ddot{q}_2 + bc_2' [-4b\dot{q}_2 - w_2(t) + w_1(t+t_1) + w_2(t+t_1)] \quad (5)$$

معادله حرکت چرخشی بوزی عقب حول محور عرضی:  

$$J_{p_2} \ddot{q}_3 = bk_2' \ddot{\dot{q}} - 4bq_3(t) - w_1(t+t_2) - w_2(t+t_2) + w_2(t+t_3) + w_2(t+t_3) \ddot{q}_3 + bc_2' [-4b\dot{q}_3 - w_1(t+t_2) - w_2(t+t_2) + w_1(t+t_3) + w_2(t+t_3)] \quad (6)$$

معادله حرکت چرخشی اطافک حول محور طولی:  

$$J_{r_1} \ddot{j}_1 = -4k_1 d^2 j_1 - 4c_1 e^2 j_1 \quad (7)$$

معادله حرکت چرخشی بوزی جلو حول محور طولی:  

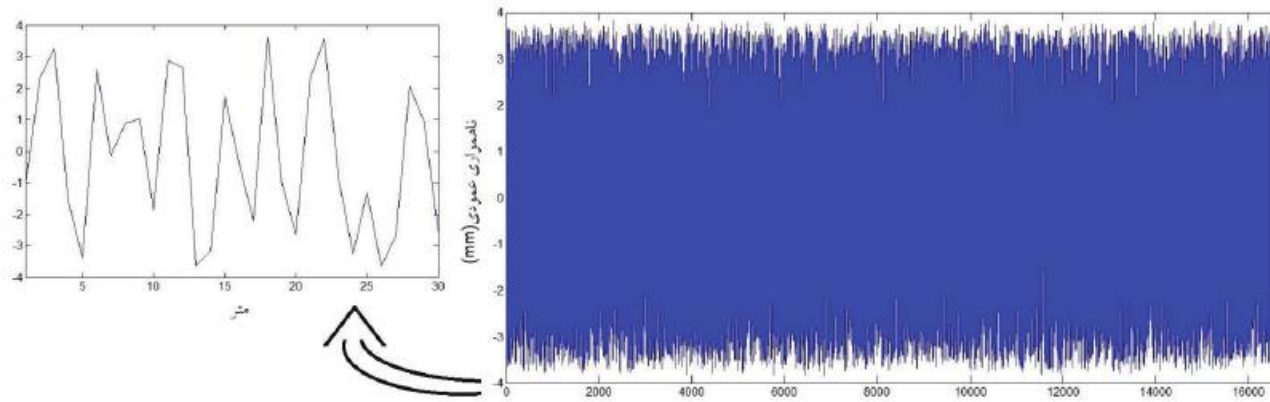
$$J_{r_2} \ddot{j}_2 = ck_2' [-4cj_2 + w_2(t) + w_2(t+t_1) - w_1(t) - w_1(t+t_1)] + cc_2' [-4cj_2 + w_2(t) + w_2(t+t_1) - w_1(t) - w_1(t+t_1)] + 2k_1 d^2 j_1 + 2c_1 e^2 j_1 \quad (8)$$

معادله حرکت چرخشی بوزی عقب حول محور طولی:  

$$J_{r_3} \ddot{j}_3 = ck_3' [-4cj_3 + w_2(t+t_2) + w_2(t+t_3) - w_1(t+t_2) - w_1(t+t_3)] + cc_2' [-4cj_3 + w_2(t+t_2) + w_2(t+t_3) - w_1(t+t_2) - w_1(t+t_3)] + 2k_1 d^2 j_1 + 2c_1 e^2 j_1 \quad (9)$$

برای شبیه سازی ناهمواریهای خط از تابع PSD زیر استفاده شده است که برای کلاسهای ۱ تا ۶ خط راه آهن آمریکا ارائه شده است [Fryba, 1996]

$$G(W) = \frac{AW^2(\hat{W} + W^2)}{\hat{W}(\hat{W} + W^2)} \quad (10)$$



شکل ۳. تاهمواری خط کلاس ۶، خط با کیفیت خوب

۱۳ روابط EN و UIC برای محاسبه شاخص راحتی سفر استاندارد EN 2006 [EN Code 12299. 2006] برای ارزیابی متوسط راحتی، با در نظر گرفتن تأثیر شتابها در کف ااطاقک، دو رابطه دارد، یکی روش استاندارد ( $N_{MV}$ ) و دیگری روش کامل برای مسافر ایستاده ( $N_{VD}$ ) که در این مقاله نتایج این دو روش با هم مقایسه می شود. در ضمن استاندارد UIC Code 513.] UIC 1994] نیز عیناً همین روابط را ارائه می دهد.

$$N_{MV} = 6 \sqrt{\left(a_{XP95}^{W_d}\right)^2 + \left(a_{YP95}^{W_d}\right)^2 + \left(a_{ZP95}^{W_b}\right)^2} \quad (16)$$

و

(17)

$$N_{VD} = 3 \sqrt{16 \cdot \left(a_{XP50}^{W_d}\right)^2 + 4 \cdot \left(a_{YP50}^{W_d}\right)^2 + \left(a_{ZP50}^{W_b}\right)^2} + 5 \cdot \left(a_{YP95}^{W_d}\right) \quad (17)$$

که صدک  $a_{XP}^{W_d}$  مقدار ۰.۹۵ است. صدک  $a_{XP95}^{W_d}$  تعداد مشخصی داده، مقداری است که ۰.۹۵ از داده ها کمتر از آن مقدار هستند. به همین ترتیب  $a_{YP95}^{W_d}$  و  $a_{ZP95}^{W_b}$  هم بددست می آیند.

### ۲ توابع وزن دهنی

راحتی انسان تا حد زیادی تحت تأثیر شتابهای واردہ بر بدن و همچنین فرکانس ارتعاشی است که بدن درک می کند، تحقیقات نشان می دهد که بدن انسان فرکانس های زیر ۵ هرتز و بالای ۱۰

مولفه های شتاب وزن دهنی شده ( $\ddot{x}_{W_i}^*$ ,  $\ddot{y}_{W_i}^*$  و  $\ddot{z}_{W_i}^*$ ) محاسبه می شود. تابع وزن دهنی ( $H(f)$ ) وابسته به جهت شتاب و نقطه اندازه گیری شتاب (کف، تشك صندلی، پشت صندلی) است.

$$\begin{aligned} \ddot{x}_{W_i}^* &= \text{ifft}(A_{XP}^{W_i}) \\ \ddot{y}_{W_i}^* &= \text{ifft}(A_{YP}^{W_i}) \\ \ddot{z}_{W_i}^* &= \text{ifft}(A_{ZP}^{W_i}) \end{aligned} \quad (14)$$

$\ddot{x}_{W_i}^*$  مقدار شتاب وزن دهنی شده در فضای زمان می باشد. سپس میانگین مربع مجدورات (rms) اندازه های مولفه های شتاب وزن دهنی شده در هر ۵ ثانیه محاسبه می شود. علامت  $*$  به شتاب خام و  $\alpha$  به rms شتاب اشاره دارد:

$$\begin{aligned} a_{Xj}^{W_i} &= \sqrt{\frac{1}{T} \int_{t-T}^t |\ddot{x}_{W_i}^*(t)|^2 dt} \\ a_{Yj}^{W_i} &= \sqrt{\frac{1}{T} \int_{t-T}^t |\ddot{y}_{W_i}^*(t)|^2 dt} \\ a_{Zj}^{W_i} &= \sqrt{\frac{1}{T} \int_{t-T}^t |\ddot{z}_{W_i}^*(t)|^2 dt} \end{aligned} \quad (15)$$

و  $t$  مضری از ۵s است و  $T=5s$  اشاره دارد (P سطح کف، A سطح تشك صندلی، D سطح پشت صندلی)

## تحلیل ارتعاشات واگن و بررسی تأثیر ناهمواریهای خط بر راحتی سفر

جدول ۴. مقیاس ارزیابی شاخص راحتی متوسط  $N_{MV}$  در استاندارد EN [EN Code 12299. 2006]

$N_{MV} < 1.5$	سیار راحت
$1.5 \leq N_{MV} < 2.5$	راحت
$2.5 \leq N_{MV} < 3.5$	متوسط
$3.5 \leq N_{MV} < 4.5$	ناخوشایند
$4.5 \leq N_{MV}$	سیار ناخوشایند

جدول ۵. مقیاس ارزیابی شاخص راحتی بر اساس استاندارد UIC [UIC Code 513. 1994]

$N < 1$	سیار راحت
$1 \leq N < 2$	راحت
$2 \leq N < 4$	متوسط
$4 \leq N < 5$	ناخوشایند
$5 \leq N$	سیار ناخوشایند

### ۵. نتایج

در این قسمت نتایج محاسبه شاخص راحتی سفر برای نقاط A (مرکز اطافک) و B (گوشه اطافک) بر طبق روش استاندارد (N<sub>MV</sub>) و روش کامل برای مسافر ایستاده (N<sub>VD</sub>) آورده شده است. شاخص راحتی سفر برای کلاس خط ۳ و ۶ راه آهن آمریکا و حالات مختلف حرکت اطافک محاسبه شده است. این حالات عبارتند از حرکت اطافک با شتاب ثابت (شتایهای ثابت مختلف) تا حداقل سرعت مجازش و سپس ادامه حرکت با سرعت ثابت. شتایهای شروع حرکت که به ازای آنها شبیه سازی انجام شده است عبارتند از ۰.۳، ۰.۵، ۰.۷، ۰.۹ و ۱.۱ متر بر محدود ثانیه. در استاندارد گفته شده که کل زمان

هر تر را بهتر تحمل می کند، از این رو توابع وزن دهنی نوشته شده اند که شتایهای با فرکانسها ذکر شده را فیلتر می کند و بنابراین در تحلیل ارتعاشات فقط فرکانسها بین نظر گرفته می شوند که تأثیر مخرب بر راحتی انسان دارند.

$$\text{تابع وزن دهنی کلی برای } W_b \text{ برابر با:} \\ H(f) = H_h(f)' H_i(f)' H_t(f)' H_s(f) \quad (18)$$

$$\text{و برای } W_c \text{ و } W_d \text{ برابرست با:} \\ H(f) = H_h(f)' H_i(f)' H_t(f) \quad (19)$$

$$\text{که} \quad (21 \text{و} 20) \\ H_h(f) = \frac{1}{1 - \frac{f_1^2}{\xi f_1^2} - i \frac{f_1}{Q_1 f_1}},$$

$$H_i(f) = \frac{1}{1 - \frac{f_2^2}{\xi f_2^2} + i \frac{f_2}{Q_2 f_2}} \quad \text{و} \quad (22 \text{و} 23)$$

$$H_t(f) = \frac{\xi 1 + i \frac{f}{f_3^2} K}{1 - \frac{f_3^2}{\xi f_3^2} + i \frac{f}{Q_3 f_3}}, \\ H_s(f) = \frac{1 - \frac{f_5^2}{\xi f_5^2} + i \frac{f_5}{Q_5 f_5} \cdot \frac{f_6^2}{\xi f_6^2}}{1 - \frac{f_6^2}{\xi f_6^2} + i \frac{f_6}{Q_6 f_6}}. \quad (24)$$

### ۴. تفسیر نتایج

جدول ۴ و ۵ معیارهایی برای ارزیابی راحتی سفر بر اساس استانداردهای EN و UIC بدست می دهند.

جدول ۳. پارامترهای استفاده شده در توابع وزن دهنی [EN Code 12299. 2006]

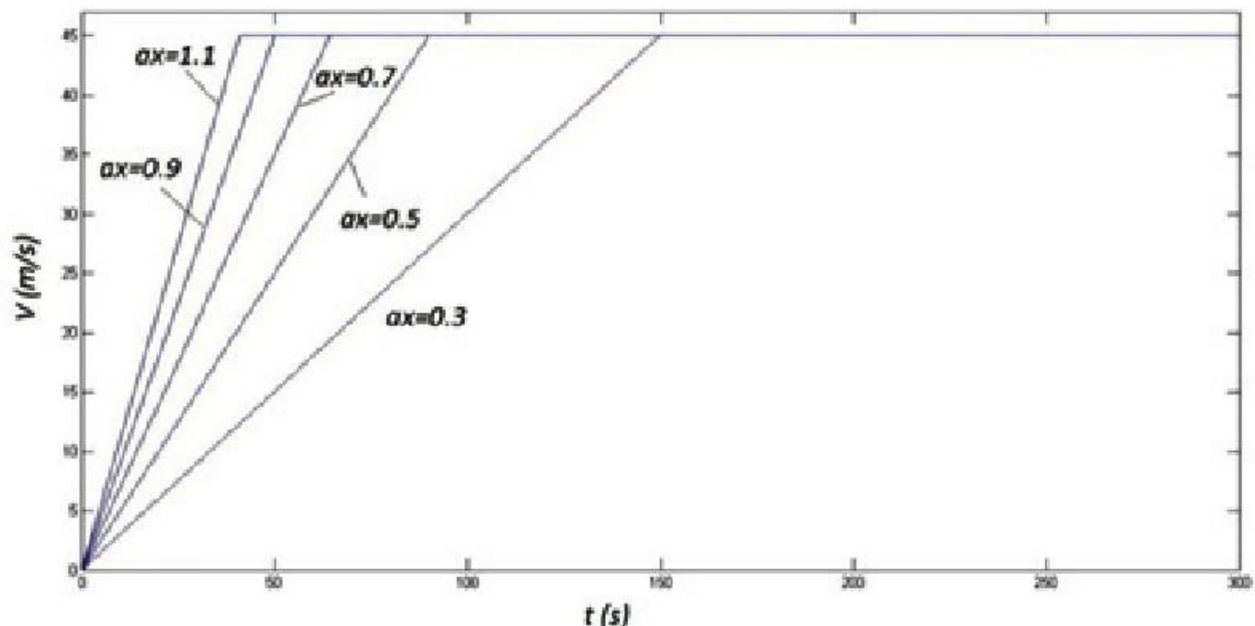
تابع وزن دهنی	$f_1(\text{Hz})$	$f_2(\text{Hz})$	$Q_1$	$f_3(\text{Hz})$	$f_4(\text{Hz})$	$Q_2$	$f_5(\text{Hz})$	$f_6(\text{Hz})$	$Q_3$	$Q_4$	$K$
$W_b$	0.4	100	$1/\sqrt{2}$	16	16	0.63	2.5	4	0.8	0.8	0.4
$W_c$	0.4	100	$1/\sqrt{2}$	8	8	0.63	-	-	-	-	1
$W_d$	0.4	100	$1/\sqrt{2}$	2	2	0.63	-	-	-	-	1

## جعفر عبادی رجلی، حبیب الله ملاطفی

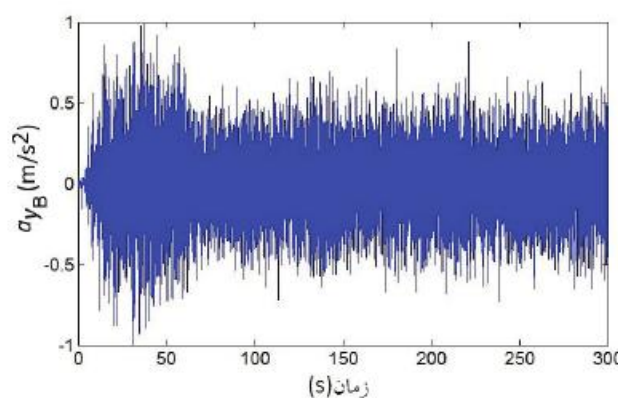
مورد استفاده قرار داد زیرا تنها دامنه شتاب نیست که بر روی راحتی سفر موثر است بلکه عامل مهم تر، فرکانس شتاب واردہ به بدن انسان است، همان‌طور که در قسمت ۲-۳ نیز گفته شد بدن انسان نسبت به بعضی فرکانس‌های شتاب حساس‌تر است. بنابراین شتابهای بدست آمده را باید به فضای زمان برد و پس از وزن دهنی فرکانسی و بازگرداندن شتابها به فضای زمان، از آنها برای محاسبه شاخص راحتی سفر استفاده می‌کنیم. در ادامه نتایج محاسبه شاخص راحتی سفر برای نقاط A و B مشاهده می‌شود.

اندازه گیری شتاب باید ۳۰۰ ثانیه باشد، بنابراین شبیه سازی در همین مدت انجام شده است. در شکل ۴ پروفیل سرعتهای مختلفی که شبیده‌سازی به ازای آنها انجام شده است مشاهده می‌شود.

در ادامه، منحنی‌های شتاب نقطه B در فضای زمان و فرکانس برای کلاس خط ۳ و شتاب شروع حرکت ۰.۵ مشاهده می‌شود. این شتابها از حل دستگاه معادلات دیفرانسیل حرکت واگن بدست آمدند. از آنجا که این شتابها بر حسب زمان هستند نمی‌توان آنها را برای تحلیل کمی ارتعاشات خط مستقیماً

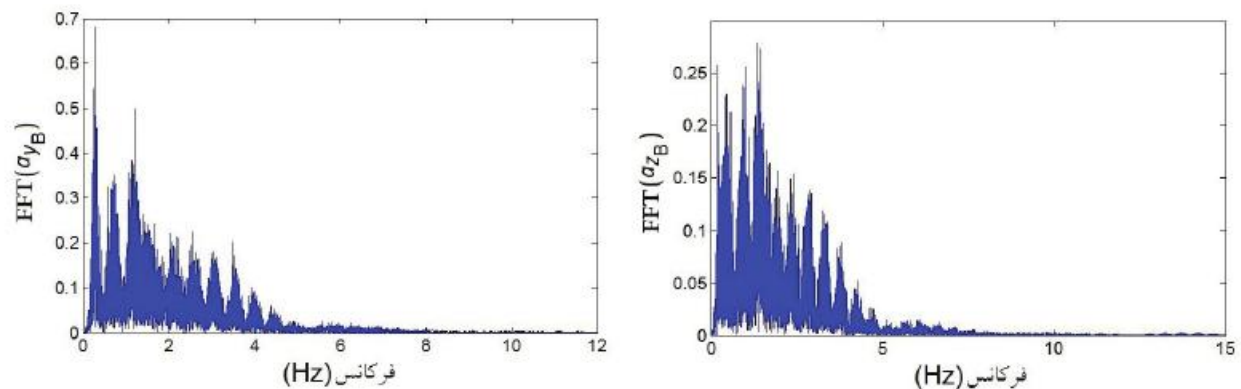


شکل ۴. پروفیل سرعت اطاقک به ازای شتابهای مختلف شروع حرکت

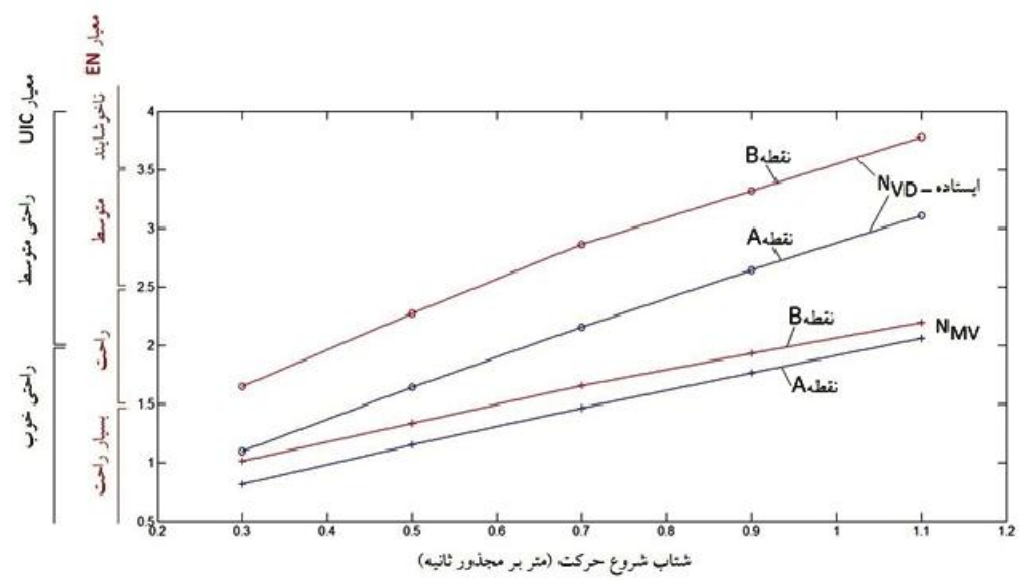


شکل ۵. شتاب نقطه B در جهات عرضی و عمودی بر حسب زمان، کلاس خط ۳، شتاب شروع حرکت ۰.۵ متر بر مجنور ثانیه

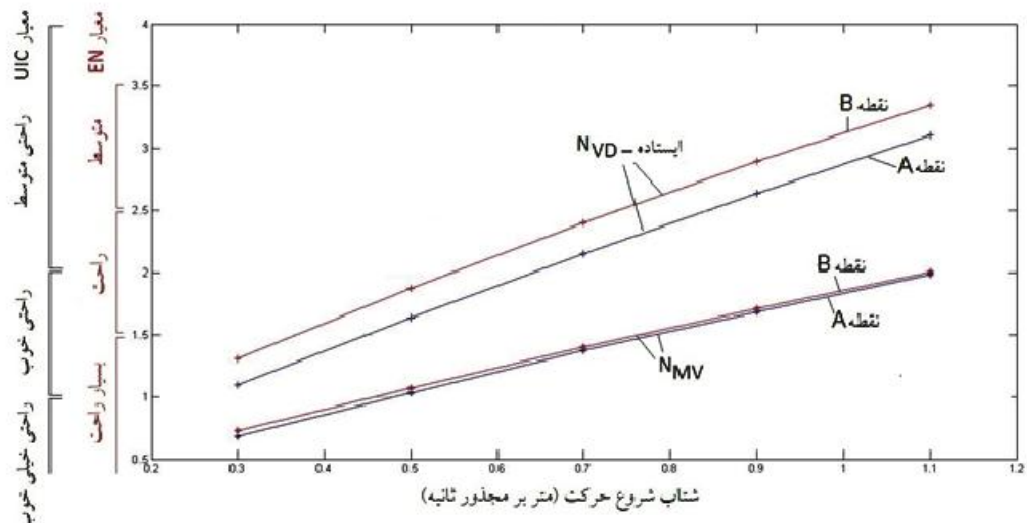
### تحلیل ارتعاشات واگن و بررسی تأثیر ناهمواریهای خط بر راحتی سفر



شکل ۶. شتاب نقطه B در جهات عرضی و عمودی در فضای فرکانسی، کلاس خط ۳، شتاب شروع حرکت ۰.۵ متر بر مجدد ثانیه



شکل ۷. شاخص راحتی سفر برای کلاس خط ۳



شکل ۸. شاخص راحتی سفر برای کلاس خط ۶

## جعفر عبادی رجلی، حبیب الله ملاطفی

- EN 12299, European Standard. (2006) "Railway applications - Ride comfort for passengers - Measurement and evaluation", English Version , July 2006

- Farahpour, H., Younesian, D. and Esmailzadeh, E. (2006) "Ride quality of high-speed trains traveling over the corrugated rails", ASME 2006 International Mechanical Engineering Congress and Exposition, American Society of Mechanical Engineers, pp. 145-152.

- Fryba, Ladislav (1996) "Dynamics of railway bridge", Academia Praha.

- Gangadharan, K. V., Sujatha, C. and Ramamurti, V. (2004) "experimental and analytical ride comfort evaluation of a railway coach", Conference & Exposition On Structural Dynamics, IMAC-XXII 2004

- Goga, V. and Klúčik, M. (2012) "Optimization of vehicle suspension parameters with use of evolutionary computation", Procedia Engineering, Vol. 48, pp. 174-179.

- Gong, D., Sun, W., Jinsong, Z. and Xiaobo, X. (2011) "Analysis on the vertical coupled vibration between bogies and metro car body", Procedia Engineering, Vol. 16, pp. 825-831.

- He, Y. and Li Z. (2014) "Analysis of the influence of track quality for new and existing urban railway lines on train operation", Computers in Railways XIV: Railway Engineering Design and Optimization. pp.135- 291

- ISO 2631-1. (1997) "International Standard, 2nd edition, Mechanical vibration and shock, Evaluation of human exposure to whole-body vibration, Part 1: General requirements", ISO.

- Sun, X., Chu, Y., Jiuchen, F. and Qiuxiao, Y. (2012) "Research of simulation on the effect of suspension damping on vehicle ride", Energy Procedia, Vol. 17A, pp. 145-151

- Suarez, B. and Felez, J. (2013) "Influence of the track quality and of the properties of the wheel-rail rolling contact on vehicle dynamics." Vehicle System Dynamics, Vol. 51, No. 2, pp. 301-320.

## ۶. نتیجه گیری

شاخص راحتی روش استاندارد ( $N_{MV}$ ) مقادیر کمتری (بهتر) نسبت به روش کامل برای مسافر ایستاده ( $N_{VD}$ ) نشان می دهد و این بدليل این است که در رابطه  $N_{MV}$  مسافر ایستاده مذ نظر قرار نگرفته است. بنابراین در متروها که مسافران ایستاده بسیار بیشتر از قطارهای بین شهری هستند، باید شاخص راحتی برای مسافر ایستاده ( $N_{VD}$ ) در نظر گرفته شود. در ضمن در قطارهای بین شهری مدل‌های راحتی سفر که تأثیر مدت زمان حرکت را در نظر می گیرند نیز باید استفاده شوند [ISO Code 2631-1. 1997].

شاخص راحتی سفر نقطه B (گوشده اطاقک) نسبت به نقطه A (وسط اطاقک) بیشتر (بدتر) است و این به خاطر این است که تأثیر شتابهای ناشی از چرخش اطاقک حول محورهای طولی و عرضی در نقطه B نسبت به نقطه A بسیار بیشتر است. هر چند در خط کلاس ۶ (بهترین کیفیت خط)، برای مسافر نشسته شاخص راحتی سفر برای هر دو نقطه تقریباً یکسان است و برای مسافر ایستاده نیز اختلاف زیادی بین این دو نقطه مشاهده نمی شود، اما در کلاس خط ۳ این اختلاف خصوصاً برای مسافر ایستاده بسیار محسوس تر است. در انتها، نتایج نشان می دهند که شتاب شروع حرکت تأثیر زیادی بر شاخصهای راحتی سفر دارد و با افزایش شتاب شروع حرکت شاخص راحتی سفر بیشتر می شود (شرایط بدتر می شود)، افزایش شتاب شروع حرکت خصوصاً برای مسافر ایستاده اثر مخرب بسیار بیشتری دارد.

## ۷. پی‌نوشت‌ها

1. Weighting
2. 95<sup>th</sup> percentile of  $a_{XP}^{W_i}$

## ۸. مراجع

- علیزاده، قاسم، وکیل باغمیشه، محمد تقی، میرزاپی، مهدی و حسن نژاد، رضا (۱۳۸۵) "استفاده از الگوریتم ژنتیکی برای بهینه‌سازی سیستم تعليق غيرفعال خودرو تحت اثر تحریکات انفاقی جاده"، چهاردهمین کنفرانس سالانه (بین‌المللی) مهندسی مکانیک، اردیبهشت ۱۳۸۵، دانشگاه صنعتی اصفهان

## تحلیل ارتعاشات واگن و بررسی تأثیر ناهمواریهای خط بر راحتی سفر

- Suarez, B., Mera, J. M. , Martinez, M. L. and Chover, J. A. (2013) "Assessment of the influence of the elastic properties of rail vehicle suspensions on safety, ride quality and track fatigue", *Vehicle System Dynamics*, Vol. 51, No. 2, pp. 280-300.

- The Manchester Benchmarks for rail vehicle simulation (1998), Manchester Metropolitan University, March 1998

- UIC 513, International Union of Railways (1994) "Guidelines for evaluating passenger comfort in relation to vibration in railway vehicle", 1st edition, 1.7.1994

- Younesian, D. and Nankali, A. (2009) "Spectral Optimization of the Suspension System of High-speed Trains." *Int. J. Vehicle Structures & Systems*, Vol. 1, No. 4, pp. 98-103.